
Drone

TRABALHO REALIZADO POR:

JOÃO FIGUEIREDO MARTINS PEIXE DOS SANTOS

FRANCISCO ALVES ANDRADE

LUÍS FILIPE CRUZ SOBRAL

PAULO SILVA SOUSA

MERIEM KHAMMASSI



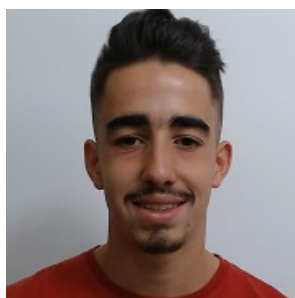
A89520
João Santos



A89474
Luís Sobral



A85829
Meriem Khammassi



A89465
Paulo Sousa



A89513
Francisco Andrade

Índice

1	Problema	1
2	Remoção de arestas	1
3	Variáveis de decisão	2
4	Dados	2
5	Restrições	3
6	Função Objetivo	4
7	Ficheiro Input	5
8	Ficheiro Output	5
9	Solução Ótima, Percurso e Distância	6
10	Validação do Modelo	7

1 Problema

O problema que pretendemos solucionar baseia-se em determinar o menor percurso que um drone deve efetuar para inspecionar linhas de transporte de energia cinética em alta tensão. Assim, todos os vértices do grafo devem ser percorridos uma ou mais vezes em qualquer sentido, com o objetivo de encontrar a melhor solução, ou seja, a que minimize a distância euclidiana total. As linhas têm um comprimento proporcional à dimensão do seu traço em centímetros. É necessário, para provar que existe solução, encontrar um percurso com início e fim na estrela que vá de um vértice para qualquer outro percorrendo todos os vértices.

2 Remoção de arestas

Como o maior número de inscrição do nosso grupo é 89520, removemos as arestas D e E, de acordo com as regras estipuladas no enunciado do trabalho. Assim, a figura do grafo é a seguinte:

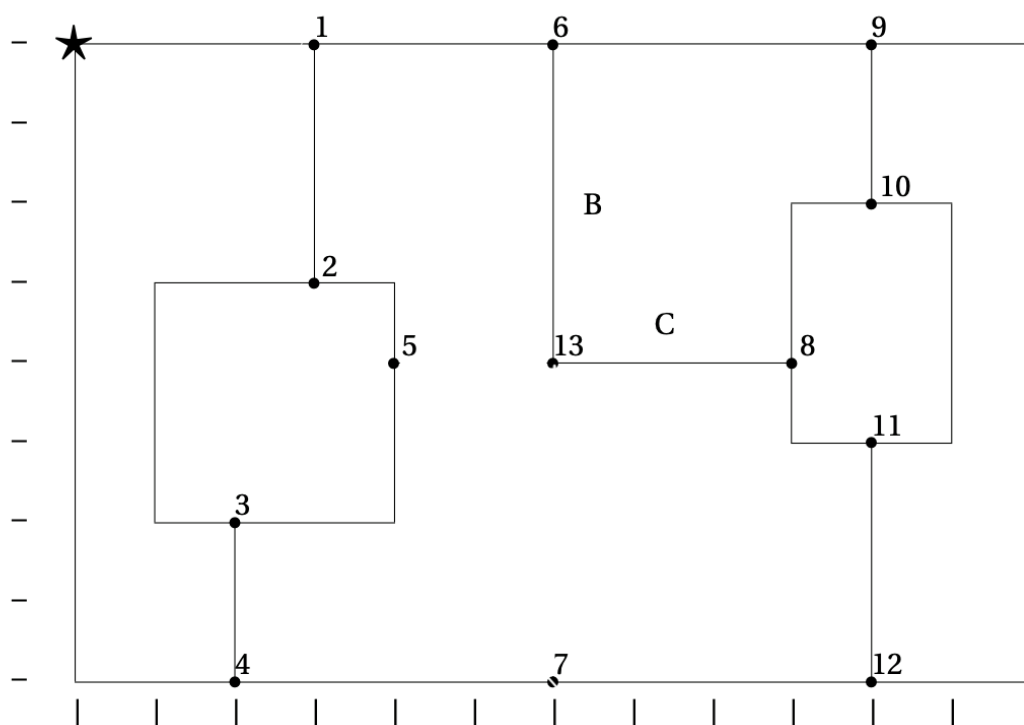


Fig 1 - Grafo do Problema

3 Variáveis de decisão

Por objetivo temos de criar um grafo cujos vértices tenham grau par. Assim, definimos a variável de decisão que representa as ligações adicionais entre os vértices ímpares, de modo a inicializar a formulação do modelo de programação linear. Esta é uma variável binária que representa a seleção da aresta, 1 se for selecionada e 0 se não for.

X_{ij} : arestas adicionais entre os vértices i e j .

$$i, j \in \{1, 2, 3, 4, 6, 9, 8, 10, 11, 12\} \quad (1)$$

Tendo em mente tornar o número de incidências dos vértices ímpares em pares, possibilitando a construção de um percurso para o drone, adicionaremos uma aresta aos vértices de grau ímpar, não alterando os vértices de grau par (5, 7 e 13).

4 Dados

Os dados do modelo de programação linear tiveram por base a distância das arestas que foi calculada considerando como escala a dimensão do seu traço em centímetros e o custo de cada ligação entre vértices (representada pela distância euclidiana presente na matriz do enunciado).

5 Restrições

As restrições são as regras de seleção de ligações adicionais. Assim, de modo a garantir a unicidade de um determinado caminho a partir de um vértice, definimos (para os vértices de grau ímpar) uma restrição que certifica que apenas uma das arestas é selecionada. Esta restrição consiste na igualdade entre a soma de todas variáveis binárias (representantes de todas as possibilidades para onde a aresta pode ir) e o valor 1. Desta forma obtemos uma ligação adicional igual a 1 para cada vértice de grau ímpar, sendo que as restantes ligações admissíveis igualam a 0 e não ocorrem.

Vértice 1: $x_{12} + x_{13} + x_{14} + x_{16} + x_{18} + x_{19} + x_{110} + x_{111} + x_{112} = 1$;
Vértice 2: $x_{12} + x_{23} + x_{24} + x_{26} + x_{28} + x_{29} + x_{210} + x_{211} + x_{212} = 1$;
Vértice 3: $x_{13} + x_{23} + x_{34} + x_{36} + x_{38} + x_{39} + x_{310} + x_{311} + x_{312} = 1$;
Vértice 4: $x_{14} + x_{24} + x_{34} + x_{46} + x_{48} + x_{49} + x_{410} + x_{411} + x_{412} = 1$;
Vértice 6: $x_{16} + x_{26} + x_{36} + x_{46} + x_{68} + x_{69} + x_{610} + x_{611} + x_{612} = 1$;
Vértice 8: $x_{18} + x_{28} + x_{38} + x_{48} + x_{68} + x_{89} + x_{810} + x_{811} + x_{812} = 1$;
Vértice 9: $x_{19} + x_{29} + x_{39} + x_{49} + x_{69} + x_{89} + x_{910} + x_{911} + x_{912} = 1$;
Vértice 10: $x_{110} + x_{210} + x_{310} + x_{410} + x_{610} + x_{810} + x_{910} + x_{1011} + x_{1012} = 1$;
Vértice 11: $x_{111} + x_{211} + x_{311} + x_{411} + x_{611} + x_{811} + x_{911} + x_{1011} + x_{1112} = 1$;
Vértice 12: $x_{112} + x_{212} + x_{312} + x_{412} + x_{612} + x_{812} + x_{912} + x_{1012} + x_{1112} = 1$;

bin $x_{12} \ x_{13} \ x_{14} \ x_{16} \ x_{18} \ x_{19} \ x_{110} \ x_{111} \ x_{112} \ x_{23} \ x_{24} \ x_{26} \ x_{28} \ x_{29} \ x_{210} \ x_{211} \ x_{212} \ x_{34} \ x_{36} \ x_{38} \ x_{39} \ x_{310} \ x_{311} \ x_{312} \ x_{46} \ x_{48} \ x_{49} \ x_{410} \ x_{411} \ x_{412} \ x_{68} \ x_{69} \ x_{610} \ x_{611} \ x_{612} \ x_{89} \ x_{810} \ x_{811} \ x_{812} \ x_{910} \ x_{911} \ x_{912} \ x_{1011} \ x_{1012} \ x_{1112}$;

De forma a evitar a repetição de variáveis, declaramos as variáveis como binárias através do bin. Não sendo assim necessário mencionar a aresta x_{21} quando a aresta x_{12} já foi declarada.

6 Função Objetivo

A função objetivo traduz o custo das ligações adicionais. Sendo que as linhas de alta tensão têm valor constante, o que podemos otimizar é o custo das ligações. Para determinar a função objetivo, somamos o tamanho de todas as arestas (com o resultado de 79) e adicionamos todas as variáveis binárias a multiplicar pela distância euclidiana.

$$\begin{aligned} \text{Min: } & 3.00 x_{12} + 6.08 x_{13} + 8.06 x_{14} + 4.12 x_{15} + 3.00 x_{16} + 8.54 x_{17} + 7.21 x_{18} \\ & + 7.00 x_{19} + 7.28 x_{110} + 8.60 x_{111} + 10.63 x_{112} + 5.00 x_{113} + 3.00 x_{21} + 3.16 x_{23} + \\ & 5.10 x_{24} + 1.41 x_{25} + 4.24 x_{26} + 5.83 x_{27} + 6.08 x_{28} + 7.62 x_{29} + 7.07 x_{210} + 7.28 \\ & x_{211} + 8.60 x_{212} + 3.16 x_{213} + 6.08 x_{31} + 3.16 x_{32} + 2.00 x_{34} + 2.83 x_{35} + 7.21 x_{36} \\ & + 4.47 x_{37} + 7.28 x_{38} + 10.00 x_{39} + 8.94 x_{310} + 8.06 x_{311} + 8.25 x_{312} + 4.47 x_{313} + \\ & 8.06 x_{41} + 5.10 x_{42} + 2.00 x_{43} + 4.47 x_{45} + 8.94 x_{46} + 4.00 x_{47} + 8.06 x_{48} + 11.31 \\ & x_{49} + 10.00 x_{410} + 8.54 x_{411} + 8.00 x_{412} + 5.66 x_{413} + 4.12 x_{51} + 1.41 x_{52} + 2.83 x_{53} \\ & + 4.47 x_{54} + 4.47 x_{56} + 4.47 x_{57} + 5.00 x_{58} + 7.21 x_{59} + 6.32 x_{510} + 6.08 x_{511} + \\ & 7.21 x_{512} + 2.00 x_{513} + 3.00 x_{61} + 4.24 x_{62} + 7.21 x_{63} + 8.94 x_{64} + 4.47 x_{65} + 8.00 \\ & x_{67} + 5.00 x_{68} + 4.00 x_{69} + 4.47 x_{610} + 6.40 x_{611} + 8.94 x_{612} + 4.00 x_{613} + 8.54 x_{71} \\ & + 5.83 x_{72} + 4.47 x_{73} + 4.00 x_{74} + 4.47 x_{75} + 8.00 x_{76} + 5.00 x_{78} + 8.94 x_{79} + 7.21 \\ & x_{710} + 5.00 x_{711} + 4.00 x_{712} + 4.00 x_{713} + 7.21 x_{81} + 6.08 x_{82} + 7.28 x_{83} + 8.06 \\ & x_{84} + 5.00 x_{85} + 5.00 x_{86} + 5.00 x_{87} + 4.12 x_{89} + 2.24 x_{810} + 1.41 x_{811} + 4.12 x_{812} \\ & + 3.00 x_{813} + 7.00 x_{91} + 7.62 x_{92} + 10.00 x_{93} + 11.31 x_{94} + 7.21 x_{95} + 4.00 x_{96} + \\ & 8.94 x_{97} + 4.12 x_{98} + 2.00 x_{910} + 5.00 x_{911} + 8.00 x_{912} + 5.66 x_{913} + 7.28 x_{101} + \\ & 7.07 x_{102} + 8.94 x_{103} + 10.00 x_{104} + 6.32 x_{105} + 4.47 x_{106} + 7.21 x_{107} + 2.24 x_{108} \\ & + 2.00 x_{109} + 3.00 x_{1011} + 6.00 x_{1012} + 4.47 x_{1013} + 8.60 x_{111} + 7.28 x_{112} + 8.06 \\ & x_{113} + 8.54 x_{114} + 6.08 x_{115} + 6.40 x_{116} + 5.00 x_{117} + 1.41 x_{118} + 5.00 x_{119} + 3.00 \\ & x_{1110} + 3.00 x_{1112} + 4.12 x_{1113} + 10.63 x_{121} + 8.60 x_{122} + 8.25 x_{123} + 8.00 x_{124} + \\ & 7.21 x_{125} + 8.94 x_{126} + 4.00 x_{127} + 4.12 x_{128} + 8.00 x_{129} + 6.00 x_{1210} + 3.00 x_{1211} \\ & + 5.66 x_{1213} + 5.00 x_{131} + 3.16 x_{132} + 4.47 x_{133} + 5.66 x_{134} + 2.00 x_{135} + 4.00 x_{136} \\ & + 4.00 x_{137} + 3.00 x_{138} + 5.66 x_{139} + 4.47 x_{1310} + 4.12 x_{1311} + 5.66 x_{1212} + 79; \end{aligned}$$

7 Ficheiro Input

As restrições e a função objetivo anteriormente definidas foram introduzidas no programa LPSolve.

```
1 /* Objective function */
2 min: 79 + 3 x12 + 4.08 x13 + 8.06 x14 + 3 x16 + 7.21 x18 + 7 x19 + 7.28 x110 + 8.6 x111 + 10.63 x112
3 + 3.16 x23 + 5.10 x24 + 4.24 x26 + 6.08 x28 + 7.62 x29 + 7.07 x210 + 7.28 x211 + 8.6 x212
4 + 2 x34 + 7.21 x36 + 7.28 x38 + 10 x39 + 8.94 x310 + 8.06 x311 + 8.25 x312
5 + 8.94 x46 + 8.06 x48 + 11.31 x49 + 10 x410 + 8.54 x411 + 8 x412
6 + 5 x68 + 4 x69 + 4.47 x610 + 6.4 x611 + 8.94 x612
7 + 4.12 x89 + 2.24 x810 + 1.41 x811 + 4.12 x812
8 + 2 x910 + 5 x911 + 8 x912
9 + 3 x1011 + 6 x1012
10 + 3 x1112;
11
12 /* Variable bounds */
13 //V1
14 x12+x13+x14+x16+x18+x19+x110+x111+x112 = 1;
15 //V2
16 x12+x23+x24+x26+x28+x29+x210+x211+x212 = 1;
17 //V3
18 x13+x23+x34+x36+x38+x39+x310+x311+x312 = 1;
19 //V4
20 x14+x24+x34+x46+x48+x49+x410+x411+x412 = 1;
21 //V6
22 x16+x26+x36+x46+x68+x69+x610+x611+x612 = 1;
23 //V8
24 x18+x28+x38+x48+x89+x810+x811+x812 = 1;
25 //V9
26 x19+x29+x39+x49+x89+x910+x911+x912 = 1;
27 //V10
28 x110+x210+x310+x410+x610+x810+x910+x1011+x1012 = 1;
29 //V11
30 x111+x211+x311+x411+x611+x811+x911+x1011+x1112 = 1;
31 //V12
32 x112+x212+x312+x412+x612+x812+x912+x1012+x1112 = 1;
33
34 //bin
35 bin x12 x13 x14 x16 x18 x19 x110 x111 x112
36 x23 x24 x26 x28 x29 x210 x211 x212
37 x34 x36 x38 x39 x310 x311 x312
38 x46 x48 x49 x410 x411 x412 x68 x69 x610 x611 x612 x89 x810 x811 x812 x910 x911 x912 x1011 x1012 x1112;
```

Fig 2 - Ficheiro de Input

8 Ficheiro Output

A solução ótima para o problema foi encontrada após executar o input. Sendo assim possível encontrar as ligações adicionais com menor distância euclidiana, convertendo todos os vértices ímpares em vértices pares.

Source		Matrix	Options	Result
Objective		Constraints	Sensitivity	
Select LPSolve IDE		Variables	MILP ...	re... ▾
Model name: 'LPSolver' - run #1		x12	1	1
Objective: Minimize(R0)		x34	1	1
SUBMITTED		x69	1	1
Model size: 10 constraints, 153 variables, 90 non-zeros.		x810	1	1
Sets: 0 GUB, 0 SOS.		x1112	1	1
Using DUAL simplex for phase 1 and PRIMAL simplex for phase 2.		x13	0	0
The primal and dual simplex pricing strategy set to 'Devex'.		x14	0	0
Relaxed solution 92.385 after 10 iter is B&B base.		x15	0	0
Feasible solution 93.24 after 11 iter, 1 nodes (gap 0.9%)		x16	0	0
Optimal solution 93.24 after 12 iter, 2 nodes (gap 0.9%).		x17	0	0
Excellent numeric accuracy v = 0		x18	0	0
MEVO: Ip_solve version 5.5.2.0 for 32 bit OS, with 64 bit REAL variables.		x19	0	0
In the total iteration count 12, 0 (0.0%) were bound flips.		x110	0	0
There were 1 refactorizations, 0 triggered by time and 0 by density.		x111	0	0
... on average 12.0 major pivots per refactorization.		x112	0	0
The largest [LUOL v2.2.1.0] fact(G) had 33 NZ entries, 1.1x largest basis.		x113	0	0
The maximum B&B level was 2, 0.0x NIP order, 2 at the optimal solution.		x21	0	0
The constraint matrix inf-norm is 1, with a dynamic range of 1.		x23	0	0
Time to load data was 0.003 seconds, presolve used 0.009 seconds,		x24	0	0
... 0.016 seconds in simplex solver, in total 0.028 seconds.		x25	0	0
		x26	0	0
		x27	0	0
		x28	0	0
		x29	0	0
		x210	0	0
		x211	0	0
		x212	0	0
		x213	0	0

Fig 3 - Terminal de Output

Fig 4 - Resultados

9 Solução Ótima, Percurso e Distância

A partir da imagem gerada pelo LPSolve conseguimos descobrir as ligações que devem ser adicionadas, uma vez que, obtivemos o valor 1 para as arestas do caminho ótimo. Ligações a adicionar (sem sentido associado): - (vértice 1 - vértice 2) distancia euclidiana: 3,00 - (vértice 3 - vértice 4) distancia euclidiana: 2,00 - (vértice 6 - vértice 9) distancia euclidiana: 4,00 - (vértice 8 - vértice 10) distancia euclidiana: 2,24 - (vértice 11 - vértice 12) distancia euclidiana: 3,00

A solução ótima, que esta indicada na figura a cima, tem o valor 96,24. Este é alcançado a partir da soma das arestas existentes inicialmente com as ligações adicionadas.

Distância total percorrida = $79 + 3 + 2 + 4 + 2,24 + 3 = 93,24$

Assim, obtivemos o seguinte percurso:

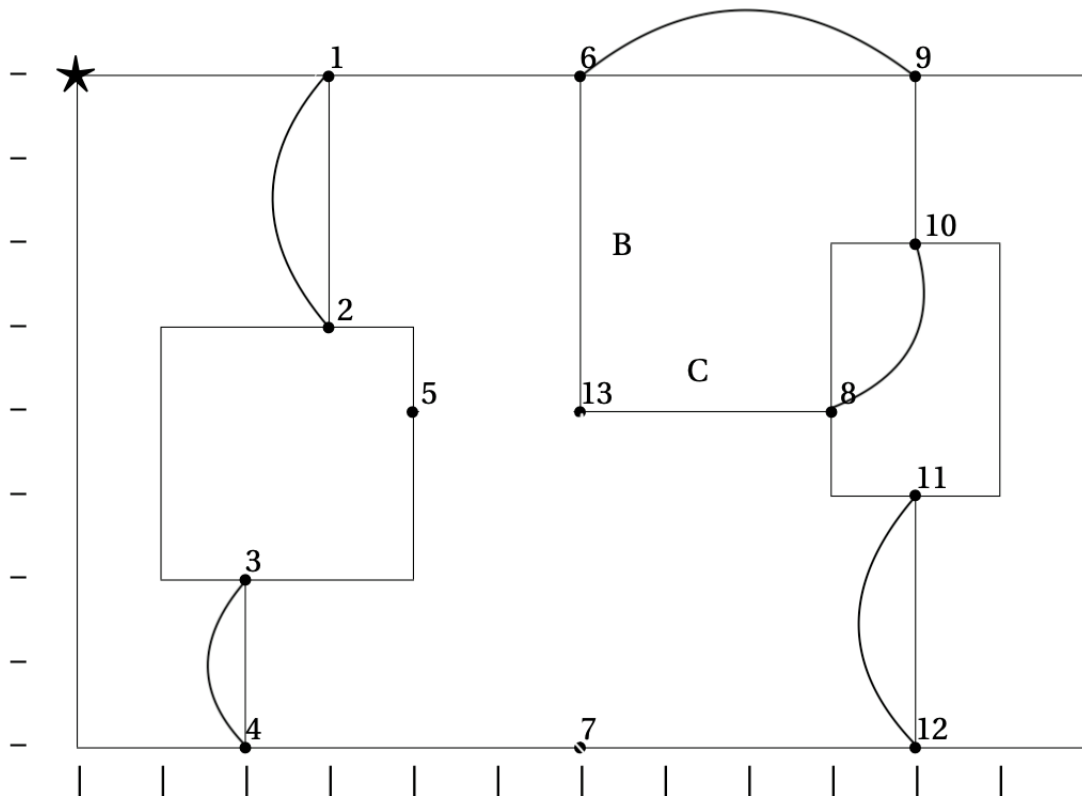


Fig 5 - Solução ótima

